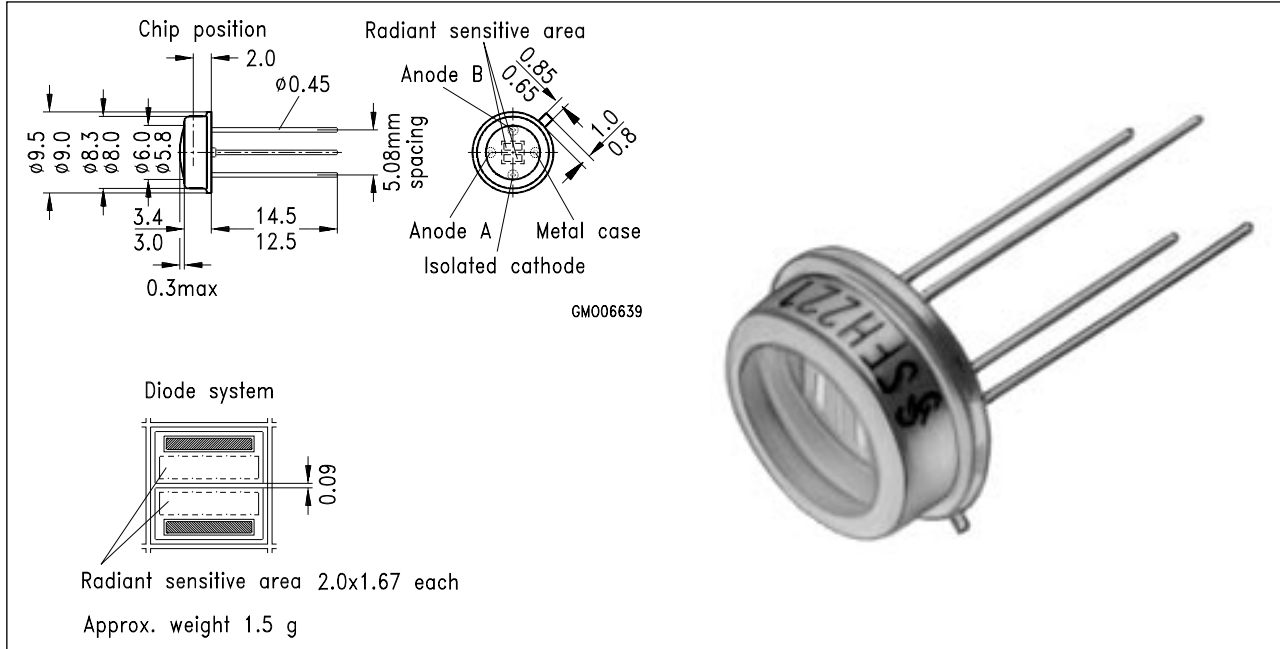


Silizium-Differential-Fotodiode Silicon Differential Photodiode

SFH 221 S



Maße in mm, wenn nicht anders angegeben/Dimensions in mm, unless otherwise specified.

Wesentliche Merkmale

- Speziell geeignet für Anwendungen im Bereich von 400 nm bis 1100 nm
- Hohe Fotoempfindlichkeit
- Hermetisch dichte Metallbauform (ähnlich TO-5), geeignet bis 125 °C¹⁾
- Doppeldiode von extrem hoher Gleichmäßigkeit

Anwendungen

- Nachlaufsteuerungen
- Kantenführung
- Industrieelektronik
- "Messen/Steuern/Regeln"

Features

- Especially suitable for applications from 400 nm to 1100 nm
- High photosensitivity
- Hermetically sealed metal package (similar to TO-5), suitable up to 125 °C¹⁾
- Double diode with extremely high homogeneousness

Applications

- Follow-up controls
- Edge drives
- Industrial electronics
- For control and drive circuits

| Typ (*ab 4/95) Type (*as of 4/95) | Bestellnummer Ordering Code | Gehäuse Package |
|--------------------------------------|--------------------------------|---|
| SFH 221 S (*SFH 221) | Q62702-P270 | Lötspieße im 5.08-mm-Raster (2/10") solder tabs 5.08 mm (2/10") lead spacing |

¹⁾ Eine Abstimmung der Einsatzbedingungen mit dem Hersteller wird empfohlen bei $T_A > 85$ °C

¹⁾ For operating conditions of $T_A > 85$ °C please contact us.

Grenzwerte**Maximum Ratings**

| Bezeichnung Description | Symbol Symbol | Wert Value | Einheit Unit |
|---|--------------------------------|-----------------------------|-------------------------------|
| Betriebs- und Lagertemperatur Operating and storage temperature range | $T_{op}; T_{stg}$ | -40 ... +80 | °C |
| Löttemperatur (Lötstelle 2 mm vom Gehäuse entfernt bei Lötzeit $t \leq 3\text{s}$) Soldering temperature in 2 mm distance from case bottom ($t \leq 3\text{s}$) | T_S | 230 | °C |
| Sperrspannung Reverse voltage | V_R | 10 | V |
| Isolationsspannung gegen Gehäuse Insulation voltage vs. package | V_{IS} | 100 | V |
| Verlustleistung, $T_A = 25\text{ °C}$ Total power dissipation | P_{tot} | 50 | mW |

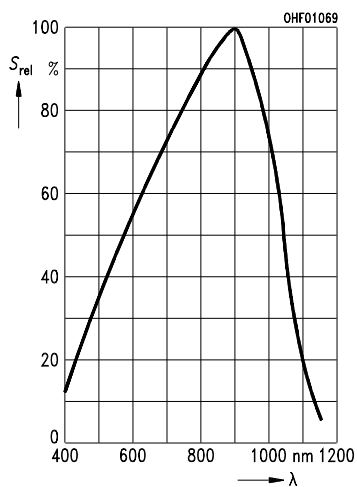
Kennwerte ($T_A = 25\text{ °C}$, Normlicht A, $T = 2856\text{ K}$) für jede Einzeldiode**Characteristics** ($T_A = 25\text{ °C}$, standard light A, $T = 2856\text{ K}$) per single diode

| Bezeichnung Description | Symbol Symbol | Wert Value | Einheit Unit |
|--|--------------------------------|-----------------------------|-------------------------------|
| Fotoempfindlichkeit, $V_R = 5\text{ V}$ Spectral sensitivity | S | 24 (≥ 15) | nA/lx |
| Wellenlänge der max. Fotoempfindlichkeit Wavelength of max. sensitivity | $\lambda_{S \max}$ | 900 | nm |
| Spektraler Bereich der Fotoempfindlichkeit $S = 10\%$ von S_{max} Spectral range of sensitivity $S = 10\%$ of S_{max} | λ | 400 ... 1100 | nm |
| Bestrahlungsempfindliche Fläche Radiant sensitive area | A | 1.54 | mm ² |
| Abmessung der bestrahlungsempfindlichen Fläche Dimensions of radiant sensitive area | $L \times B$ $L \times W$ | 0.7 x 2.2 | mm |
| Abstand Chipoberfläche zu Gehäuseober- fläche Distance chip front to case surface | H | 1.1 ... 1.6 | mm |
| Halbwinkel Half angle | ϕ | ± 55 | Grad deg. |

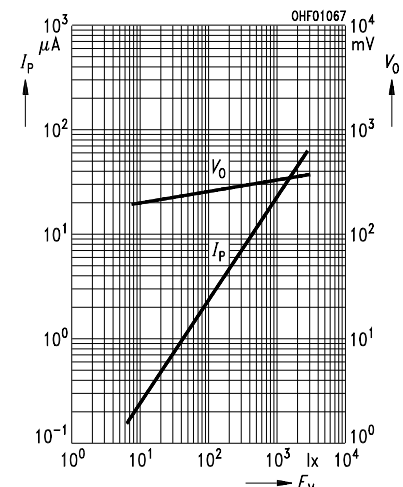
Kennwerte ($T_A = 25^\circ\text{C}$, Normlicht A, $T = 2856\text{ K}$) für jede Einzeldiode
Characteristics ($T_A = 25^\circ\text{C}$, standard light A, $T = 2856\text{ K}$) per single diode

| Bezeichnung Description | Symbol Symbol | Wert Value | Einheit Unit |
|--|------------------|-----------------------|---|
| Dunkelstrom, $V_R = 10\text{ V}$ Dark current | I_R | 10 (≤ 100) | nA |
| Spektrale Fotoempfindlichkeit, $\lambda = 850\text{ nm}$ Spectral sensitivity | S_λ | 0.55 | A/W |
| Maximale Abweichung der Fotoempfindlichkeit vom Mittelwert Max. deviation of the system spectral sensitivity from the average | ΔS | ± 5 | % |
| Quantenausbeute, $\lambda = 850\text{ nm}$ Quantum yield | η | 0.80 | Electrons Photon |
| Leerlaufspannung, $E_V = 1000\text{ lx}$ Open-circuit voltage | V_L | 330 (≥ 280) | mV |
| Kurzschlußstrom, $E_V = 1000\text{ lx}$ Short-circuit current | I_K | 24 | μA |
| Isolationsstrom, $V_{IS} = 100\text{ V}$ Insulation current | I_{IS} | 0.1 (≤ 1) | nA |
| Anstiegs und Abfallzeit des Fotostromes Rise and fall time of the photocurrent $R_L = 1\text{ k}\Omega$; $V_R = 5\text{ V}$; $\lambda = 850\text{ nm}$; $I_p = 25\text{ }\mu\text{A}$ | t_r, t_f | 500 | ns |
| Durchlaßspannung, $I_F = 40\text{ mA}$, $E = 0$ Forward voltage | V_F | 1.0 | V |
| Kapazität, $V_R = 0\text{ V}$, $f = 1\text{ MHz}$, $E = 0$ Capacitance | C_0 | 25 | pF |
| Temperaturkoeffizient für V_L Temperature coefficient of V_L | TC_V | -2.6 | mV/K |
| Temperaturkoeffizient für I_K Temperature coefficient of I_K | TC_I | 0.18 | %/K |
| Rauschäquivalente Strahlungsleistung Noise equivalent power $V_R = 10\text{ V}$, $\lambda = 850\text{ nm}$ | NEP | 1.0×10^{-13} | $\frac{\text{W}}{\sqrt{\text{Hz}}}$ |
| Nachweisgrenze, $V_R = 10\text{ V}$, $\lambda = 850\text{ nm}$ Detection limit | D^* | 1.2×10^{12} | $\frac{\text{cm} \cdot \sqrt{\text{Hz}}}{\text{W}}$ |

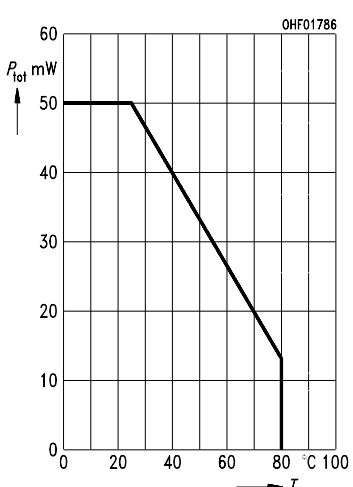
Relative spectral sensitivity
 $S_{\text{rel}} = f(\lambda)$



Photocurrent $I_P = f(E_V)$, $V_R = 5 \text{ V}$
Open-circuit-voltage $V_L = f(E_V)$

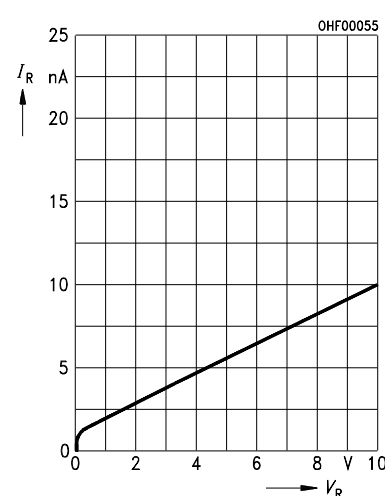


Total power dissipation
 $P_{\text{tot}} = f(T_A)$



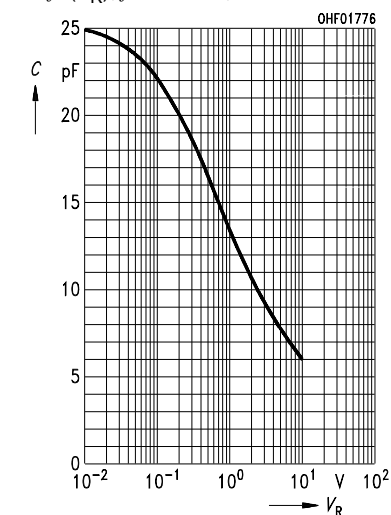
Dark current

$$I_R = f(V_R), E = 0$$



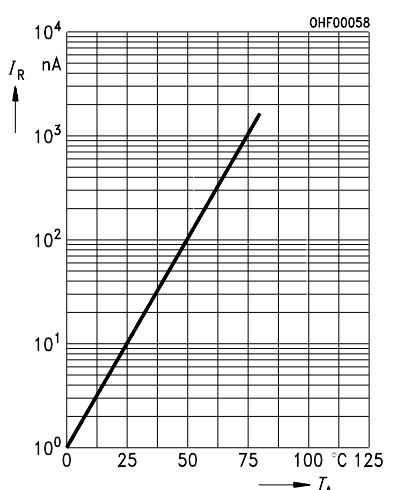
Capacitance

$$C = f(V_R), f = 1 \text{ MHz}, E = 0$$



Dark current

$$I_R = f(T_A), V_R = 1 \text{ V}, E = 0$$



Directional characteristics $S_{\text{rel}} = f(\phi)$

